

МОДЕЛЬ ЭЛЕКТРОСТАТИЧЕСКИХ ВЗАИМОДЕЙСТВИЙ ПЛАСТОЦИАНИНА С ТИЛАКОИДНОЙ МЕМБРАНОЙ И ВСТРОЕННЫМИ В НЕЕ ТРАНСМЕМБРАННЫМИ БЕЛКОВЫМИ КОМПЛЕКСАМИ

**Князева О. С., Коваленко И. Б., Абатурова А. М., Ризниченко Г. Ю.,
Грачев Е. А., Рубин А. Б.**

Данная работа посвящена разработке модели электростатических взаимодействий белка пластоцианина с тилакоидной мембраной и встроенным в нее белковыми комплексами. С использованием уравнения Пуассона-Больцмана были рассчитаны электростатические потенциалы белков, участвующих в процессе переноса электрона, и тилакоидной мембранны при различных значениях ионной силы.

Введение. Первичные процессы фотосинтеза (поглощение кванта света, разделение зарядов в реакционных центрах фотосистем, перенос электрона по фотосинтетической цепи) осуществляются в тилакоидной мемbrane хлоропласта. Тилакоидные мембранны образуют стопки, называемые гранами, и соединяющие их стромальные ламеллы (Albertsson, 2001). В мембранны встроены белковые комплексы фотосистема 1, фотосистема 2, цитохромный b_6f комплекс и АТФ-синтаза. Цитохромный b_6f комплекс расположен равномерно в гранальных и стромальных областях мембранны, в то время как фотосистема 1 располагается только в стромальной части мембранны и в краевых гранальных участках (Albertsson, 2001).

Особенностью тилакоидных мембранны является присутствие большого количества гликолипидов: сульфолипидов и галактолипидов, в основном это нейтральные липиды, т.е. галактолипиды: 1,2-diacyl-3-O-(β -D-galactopyranosyl)-sn-glycerol (или моногалактозил-диглицерол, MGDG, 50%) и 1,2-diacyl-3-O-(α -D-galactopyranosyl-1(->6)- β -D-galactopyranosyl)-sn-glycerol (или дигалактозил-диглицерол, DGDG, 30%) (Joyard, Dource, 1987; Seigenthaler, Rawyler et al. 1987). Около 15-20% составляют заряженные липиды: сульфолипид 1',2'-diacyl-3'-O-(6-deoxy-6-sulfo- α -D-glucopyranosy)-sn-glycerol (sulfoquinovosyl-diacylglycerol SQDG) и фосфолипид (фосфадитилглицерол, PG), которые формально содержат от-

рицательный заряд при нейтральном рН (Joyard, Dource, 1987; Seigenthaler, Rawyler et al., 1987).

За перенос электрона от цитохромного b_6f комплекса на фотосистему 1 отвечает подвижный белок пластицианин. Неравномерное распределение белковых комплексов в мембране приводит к тому, что пластицианин диффундирует на довольно большие расстояния (до сотен нм (Мокроносов, Гавриленко, 1992; Hope, 1993; Gross, 1996)) в межмембранным пространстве, толщина которого (4-10 нм (Mehta, Sarafis et al., 1999)) сравнима с размерами самого пластицианина (40x28x30 Å), для того чтобы перенести электрон от цитохромного комплекса на фотосистему 1. Электростатические взаимодействия обеспечивают направленную диффузию пластицианина к сайту связывания с белковым комплексом (Hope, 2000; Kleanthous, 2000; Malkin, Niyogi, 2000; Kovalenko, Abaturova et al., 2006). Данная работа посвящена разработке модели электростатических взаимодействий белка пластицианина с трансмембранными комплексами и тилакоидной мембраной и является развитием метода прямого многочастичного моделирования фотосинтетического электронного транспорта, описанного ранее в (Коваленко, Устинин и др., 2003; Kovalenko, Abaturova et al., 2006; Коваленко, Абатурова и др., 2007; Коваленко, Абатурова и др., 2008).

Модель мембранны. Модельная сцена представляет собой две фотосинтетические мембранны, заключающие между собой люминальное пространство (рис. 1). В модели фотосинтетическая мембра представлена собой две плоскости, ограничивающие липидный бислой с двух сторон. Модельная сцена состоит из мембраны и встроенных в нее белковых комплексов. Люминальная часть цитохромного b_6f комплекса представлена в модели белком цитохромом f.

При построении модели мембранны на двумерной плоскости равномерно распределяются точечные отрицательные заряды, количество этих зарядов определяется из экспериментальных данных по концентрации и распределению заряженных липидов (PG и SQDG) в бислое по формуле:

$$N_{charg es} = \sum_{type} p_i S_i / S_{memb} .$$

где p_i — процентное количество липидов i -го типа, S_i — средняя площадь, приходящаяся на один липид i -го типа. Модельную сцену формируют четыре построенных таким образом отрицательно заряженные

плоскости, которые представляют собой два внутренних (люминальных) и два внешних (стромальных) участка фотосинтетической мембранны.

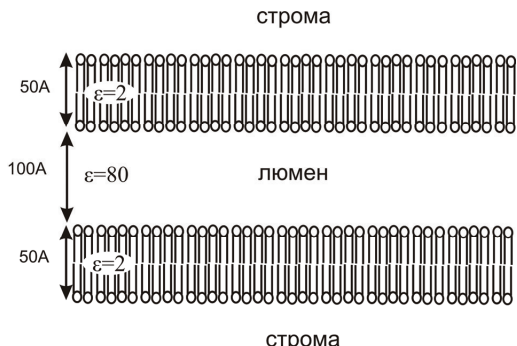


Рис. 1. Модель фотосинтетической мембранны. На рисунке изображены две тилакоидные мембранны и люминальное пространство.

Метод расчета потенциала. Для расчета электростатических взаимодействий белков друг с другом и мембраной было рассчитано электрическое потенциальное поле в люмене тилакоида, которое создается зарядами мембранных белков. Для этого использовалось уравнение Пуассона-Больцмана (Дерягин, Чураев и др., 1985):

$$\nabla(\epsilon(r)\nabla\varphi(r)) = -\frac{1}{\epsilon_0}\rho(r),$$

где $\epsilon(r)$ — неоднородная по пространству диэлектрическая проницаемость среды; $\rho(r)$ — плотность зарядов. Диэлектрическая проницаемость $\epsilon = 2$ внутри белков и мембран, $\epsilon = 80$ в растворе. Плотность зарядов складывается из свободных зарядов ионов в растворе и частичных зарядов на белках и липидах:

$$\rho = \rho_{ion} + \rho_{prot} + \rho_{memb},$$

$$\rho_{ions}(r) = \sum c_i z_i e_0,$$

где z_i — зарядовое число, c_i — локальные концентрации ионов, и $c_i = c_i^{bulk} \exp(W_i/kT)$, где c_i^{bulk} — объемная концентрация ионов, W_i — потенциал средней силы, $W_i = z_i e_0 \varphi(r)$ (Дерягин, Чураев и др., 1985),

$$\rho_{ions}(r) = \sum_i c_i^{bulk} z_i e_0 z_i e^{-\frac{z_i e_0 \phi(r)}{kT}}.$$

При малых потенциалах $\frac{z_i e_0 \phi}{kT} < 1$ можно разложить ρ_{ions} в ряд по малым степеням:

$$\begin{aligned} \rho_{ions}(r) &= \sum_i c_i^{bulk} z_i e_0 e^{-\frac{z_i e_0 \phi(r)}{kT}} \approx \sum_i c_i^{bulk} z_i e_0 - \sum_i c_i^{bulk} z_i e_0 \frac{z_i e_0 \phi(r)}{kT} = \\ &= -\sum_i c_i^{bulk} z_i^2 e_0^2 \frac{\phi(r)}{kT}, \end{aligned}$$

ионная сила $I = \frac{1}{2} \sum_i c_i^{bulk} z_i^2 [1/\text{м}^3]$, и $\rho_{ions}(r) \approx -2Ie_0^2 \frac{\phi(r)}{kT}$ (Ullmann, 2004).

Тогда линеаризованное уравнение Пуассона-Больцмана выглядит следующим образом:

$$\nabla(\epsilon(r)\nabla\phi(r)) = -\frac{1}{\epsilon_0}(\rho_{prot}(r) + \rho_{memb}(r)) + \phi(r) \frac{2Ie_0^2}{\epsilon_0 kT}.$$

Интегрируя это уравнение на однородной кубической сетке,

$$\begin{aligned} \int_V \nabla(\epsilon(r)\nabla\phi(r)) &\approx \sum_{i,j,k} \int_{V_{ijk}} \nabla(\epsilon(r)\nabla\phi(r)), \\ \int_{V_{ijk}} \nabla(\epsilon(r)\nabla\phi(r)) &= -h\phi_{i,j,k} \sum_m \epsilon^{ijk}_m + h \sum_m \phi^{ijk}_m \epsilon^{ijk}_m, \\ \int_V \left(-\frac{1}{\epsilon_0}(\rho_{prot}(r) + \rho_{memb}(r)) + \phi(r) \frac{2Ie_0^2}{\epsilon_0 kT} \right) &\approx \\ &\approx \sum_{i,j,k} \left(-\frac{h^3}{\epsilon_0} (q^{prot}_{ijk}(r) + q^{memb}_{ijk}(r)) + \phi_{ijk} \frac{2h^3 Ie_0^2}{\epsilon_0 kT} \right), \end{aligned}$$

получим итерационную зависимость для расчета потенциала:

$$\phi_{i,j,k}^n = \frac{h \sum_{m=1}^6 \epsilon_m \phi_m^{n-1} + \frac{1}{\epsilon_0 h} (q^{prot}_{i,j,k} + q^{memb}_{i,j,k})}{\sum_{m=1}^6 \epsilon_m + kh^2},$$

где $k = \frac{2Ie_0^2}{\epsilon_0 kT}$, h — шаг сетки, $\varphi_{i,j,k}^n$ — значение потенциала на n -ом шаге в точке i, j, k , суммирование идет по шести соседним ячейкам, ϵ_m — диэлектрическая проницаемость на границе ячейки i, j, k с соседними ячейками.

Для задания граничных условий необходимо учесть геометрию тилакоидной мембрany. Для гранальныx областей, представляющих собой набор повторяющихся стопок мембран, используются периодические граничные условия. Для стромальных участков мембрany, контактирующих с водой, выбираются нулевые граничные условия, поскольку на некотором удалении от мембрany (>50 Å) из-за экранирования молекулами воды напряженность электрического поля близка к нулю.

Как видно из формулы для расчета потенциала, кроме граничных условий необходимо знать величины зарядов (q^{memb} , q^{prot}), ионную силу и диэлектрическую проницаемость в каждой ячейке. Величина заряда в ячейке рассчитывается суммированием всех зарядов (от белков или мембран), попавших в эту ячейку.

Результаты. На рис. 2 представлены рассчитанные с помощью уравнения Пуассона-Больцмана электростатические потенциалы для пластицианина и цитохрома f. Для визуализации потенциалов отдельных белков мы использовали построенную по алгоритму Конноли (Connolly, 1983) молекулярную поверхность белка. В каждой точке этой поверхности оттенками серого цвета изображалось значение потенциала.

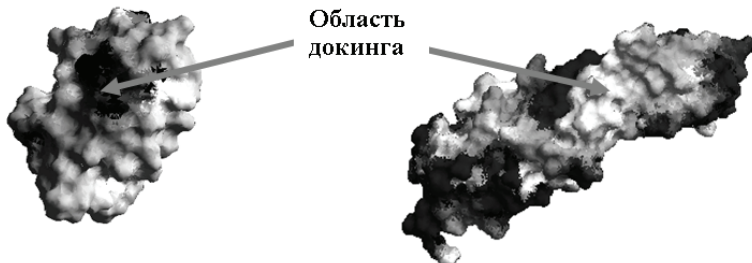


Рис. 2. Поверхности белков пластицианина (слева) и цитохрома f (справа). Светло-серым цветом отображены положительные значения потенциала на поверхности белка, темно-серым — отрицательные. Стрелками показаны области докинга, на пластицианине — область отрицательного потенциала, на цитохроме — положительного.

На рис. 3–5 изображены рассчитанные по уравнению Пуассона-Больмана эквипотенциальные поверхности (6.5 мВ) электростатического потенциала в люминальном пространстве тилакоида для стромального участка мембранны и неподвижных белков при нейтральном pH и различной ионной силе.

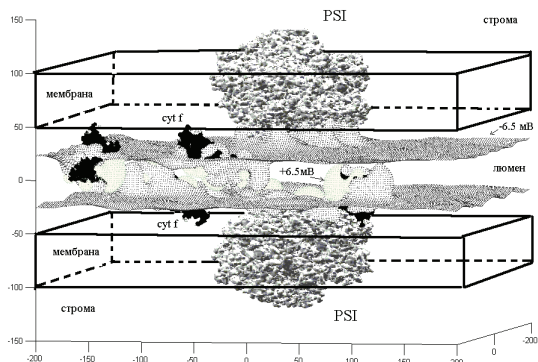


Рис. 3. Эквипотенциальные поверхности (+6.5 мВ и -6.5 мВ) в люмене тилакоида хлоропласта, pH=7, I=100 mM.

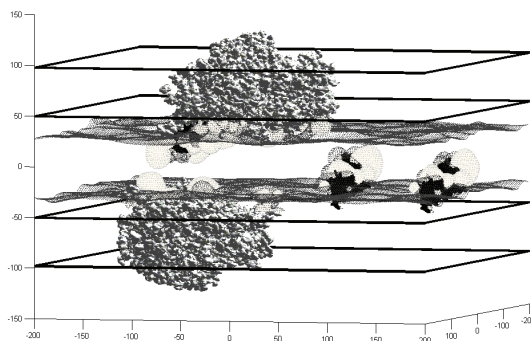


Рис. 4. Эквипотенциальные поверхности (+6.5 мВ и -6.5 мВ) в люмене тилакоида хлоропласта, pH=7, I=150 mM.

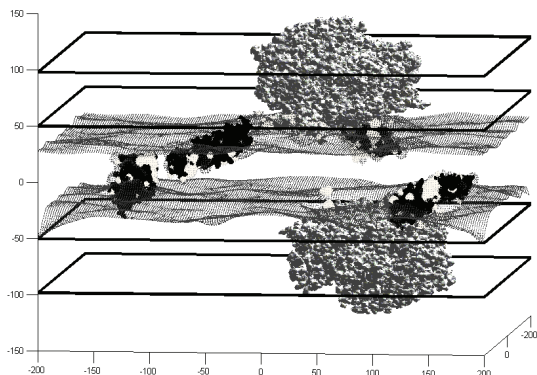


Рис. 5. Эквипотенциальные поверхности ($+40$ мВ и -40 мВ) в люмене тилакоида хлоропласта, $\text{pH}=7$, $I=50$ мМ.

На рис. 3–5 показана люминальная область, размерами 400×400 Å и толщиной 100 Å, ограниченная с двух сторон двумя мембранами, каждая толщиной 50 Å. В мембранны встроены белковые комплексы фотосистемы 1 (PSI). Цитохромный b_6f комплекс целиком не учитывался, и представлен белком цитохромом f (сyt f, черный). Темно-серым изображены отрицательные эквипотенциальные поверхности (-6.5 мВ), светло-серым – положительные эквипотенциальные поверхности ($+6.5$ мВ). Как видно из рис. 3–5, мембрана создает отрицательное электрическое поле, напряженность которого максимальна у поверхности мембран и убывает к центру люмена. При увеличении ионной силы увеличивается экранирование электрического поля ионами раствора, напряженность электрического поля в люмене, создаваемое мембраной и встроенными белками, уменьшается и отрицательные электростатические поверхности сдвигаются ближе к мембране.

Заключение. Электростатическое взаимодействие играет ключевую роль во взаимодействии белков — подвижных переносчиков электрона. В данной работе было рассчитано электростатическое поле мембранны и встроенных в нее белковых комплексов при различных значениях состояния тилакоидной мембранны и характера распределения фотосинтетических комплексов на процесс переноса электрона от цитохромного b_6f комплекса на фотосистему 1 белком пластицианином.

Работа поддержана грантами РФФИ 07-04-00375, 08-04-00354; ГК 02.512.11.213; НШ-853.2008.4.

СПИСОК ЛИТЕРАТУРЫ

- Albertsson P.-A.* A quantitative model of the domain structure of the photosynthetic membrane // *TRENDS in Plant Science*. — 2001. — Vol. 6, no. 8. — P. 349–354.
- Connolly M.L.* Analytical molecular surface calculation // *Journal of applied crystallography*. — 1983. — Vol. 16. — P. 548–558.
- Gross E.L.* Plastocyanin: structure, location, diffusion and electron transfer mechanisms // *Biochemistry & Molecular Biology of Plants*. / Ed. by B. Buchanan, W. Gruissem, R. Jones. — Kluwer Academic Publishers, 1996. — P. 413–429.
- Hope A.B.* The chloroplast cytochrome bf complex: a critical focus on function // *Biochim. Biophys. Acta*. — 1993. — Vol. 1143. — P. 1–22.
- Hope A.B.* Electron transfers amongst cytochrome f, plastocyanin and photosystem I: kinetics and mechanisms // *Biochim. Biophys. Acta*. — 2000. — Vol. — 1456. — P. 5–26.
- Joyard J., Dource R.* Galactolipid biosynthesis. / Biochemistry of plant. Lipids: Structure and Function. — New York, Academic Press, 1987. — P. 215–274.
- Kleanthous C.* Protein-protein recognition. — New York: Oxford University Press, 2000.
- Kovalenko I.B., Abaturova A.M., Gromov P.A., Ustinin D.M., Grachev E.A., Riznichenko G.Y., Rubin A.B.* Direct simulation of plastocyanin and cytochrome f interactions in solution // *Phys. Biol.* — 2006. — Vol. 3. — P. 121–129.
- Malkin R., Niyogi K.* Photosynthesis // *Biochemistry & Molecular Biology of Plants*. / Ed. by B. Buchanan, W. Gruissem, R. Jones. — Kluwer Academic Publishers, 2000. — P. 413–429.
- Mehta M., Sarafis V., Critchley C.* Thylakoid membrane architecture. // *Aust. J. Plant Physiol.* — 1999. — Vol. 26. — P. 709–716.
- Seigenthaler P.A., Rawyler A., Giroud C.* Spatial organization and functional roles of acyl lipids in thylakoid membranes / Biochemistry of plant. Lipids: Structure and Function. — New York, Academic Press, 1987. — P. 161–168.
- Ullmann G. M.* Macromolecular Electrostatics. — University Heidelberg. — 2004. <http://www.iwr.uni-heidelberg.de/>
- Дерягин Б.В., Чураев Н.В., Муллер В.М.* Поверхностные силы. — Москва: Наука, 1985.
- Коваленко И.Б., Абатурова А.М., Громов П.А., Устинин Д.М., Грачев Е.А., Ризнichenко Г.Ю., Рубин А.Б.* Компьютерное моделирование образования комплекса между пластоцианином и цитохромом f в люмене тилакоида // *Биофизика*. — 2008. — Т. 53, № 2. — С. 261–270.
- Коваленко И.Б., Абатурова А.М., Устинин Д.М., Ризнichenко Г.Ю., Грачев Е.А., Рубин А.Б.* Многочастичное компьютерное моделирование процессов электронного транспорта в мемbrane тилакоида // *Биофизика*. — 2007. — Т. 52, № 3. — С. 492–502.

*Коваленко И.Б., Устинин Д.М., Грачев Н.Е., Кренделева Т.Е., Кукарских Г.П.,
Тимофеев К.Н., Ризниченко Г.Ю., Рубин А.Б. Экспериментальное и теоретическое исследование процессов циклического электронного транспорта вокруг фотосистемы 1 // Биофизика. — 2003. — Т. 48, № 4. — С. 656–665.*
Мокроносов А.Т., Гавриленко В.Ф. Фотосинтез. Физиолого-экологические и биохимические аспекты. — Москва: Издательство Московского университета, 1992.

SIMULATION OF ELECTROSTATIC INTERACTIONS OF PLASTOCYANIN WITH THYLAKOID MEMBRANE AND TRANSMEMBRANE PROTEIN COMPLEXES

**Knyazeva O. S., Kovalenko I. B., Abaturova A. M., Riznichenko G. Yu.,
Grachev E. A., Rubin A. B.**

The paper is devoted to design of the method of electrostatic interaction of protein plastocyanin with thylakoid membrane and transmembrane protein complexes. Using Poisson-Boltzmann equation we calculated electrostatic potentials of the thylakoid membrane and the proteins involved in electron transfer at different values of the ionic strength.